

폴리설피온 중공사막에 의한 산소/질소 혼합물의 분리

김 종 수·송 근 호·이 광 래

강원대학교 홍과대학 화학공학과
(1999년 2월 29일 접수, 1999년 4월 2일 제작)

Separation of Oxygen/Nitrogen Mixture by Polysulfone Hollow-Fiber Membrane

Jong-Soo Kim, Kun-Ho Song, and Kwang-Rae Lee

Dept. of Chemical Engineering, Kangwon National University, Chunchon 200-701, Korea

(Received February 2, 1999, Accepted April 2, 1999)

요약 국내 K 그룹 연구소에서 제조한 폴리설피온 중공사막의 산소/질소 혼합물에 대한 압력, stage cut, 단기제 혼합물의 조성에 따른 분리성능을 조사하였다. 본 실험의 압력범위와 우노 30°C에서의 이상분리인자 (O_2/N_2)는 5.7이었으며, 유입 기체 혼합물의 21 mole% 산소농도가 약 50 mole%로 농축되었나 적암-증류 고압-증류 압력비는 산소농축에 비치는 영향이 지었으며, 이상분리인자의 영향은 매우 커졌다. 그러나, 이상분리인자가 증가함에 따라 이상분리인자의 영향은 눈화되었다. 따라서, 이상분리인자가 될 산소가 개별과 더불어 공정변수의 최적화가 필요하다. 수학적 모델링에 의한 예측치와 실험치가 잘 맞았다.

Abstract : The performance of the polysulfone hollow fiber membrane manufactured by K group Research Institute in Korea was investigated for the separation of O_2/N_2 mixture as a function of pressure, stage cut, and feed gas composition. The ideal separation factor(O_2/N_2) at temperature 30°C was around 5.7 in the pressure ranges studied. Oxygen concentration of 21 mole% in feed stream was concentrated to about 50%. Although the pressure ratio between high and low pressure side showed little effect, ideal separation factor showed greater effect on the oxygen enrichment. However, the effect was declined with increase in the ideal separation factor. Therefore, the optimization of process variable is necessary as well as development of new material with high ideal separation factor. It was found that experimental data were well correlated with the prediction of mathematical model.

1 서 론

기체혼합물을 분리하는 기체분리막 공정은 혼합기체 중에서 박과 친화성이 좋은 특성기체분자가 입자들을 추적되도록 하여 선내적으로 막을 투과하는 흐름을 이용해 공기 중의 산소/질소 분리[1, 2], 암모니아 제조공정, 성유공정, 석유화학 공정에서의 수소회수·농축, 천연가스에서 이산화탄소와 탄화수소를 분리·제거, 석유화학 공정의 폐가스로부터 유기물

(organic vapor)의 분리, 친연가스로부터의 헨류의 회수, 배수기 가스로부터의 CO_2 분리[3]와 CH_4 의 농축, 끓기의 진조 등이 있다. 80년대의 석유파동으로 인하여 에너지 설계를 목적으로 산소농축막, 산소농축막, 탄산가스 농축막 등을 개발하고 있으며, 산소농축막은 의료용·인소용·석유화학 공정의 산화방응용 등에 이용될 수 있다.

본 연구에서는 국내 K 그룹 중앙연구소에서 제조한 폴리설피온 중공사막에 대한 순수한 산소와 질소의 투

과정을 추정하고 산소와 질소 혼합물(공기)의 분리 실험을 수행하였으나, 토넬링에 의한 전산모사 값을 산정치와 비교하였다. 진실보시에 의한 개산치와 실험치를 비교하였을 때는 유익률은 하여 실험하지 않은 범위에서, 공정변수인 압력차, 이성분리인자 등의 변화에 따른 투과부와 배제부의 농도 변화를 예측하였다.

2 실험

국내 K 브랜드 중앙인 기관에서 유리상 고분자(glassy state polymer)인 폴리설휘트로네이트(Polymer series 730)를 이용하여 일정온도로 유지하였다. 진조기체 및 습윤기체의 투과실험 장치에 대한 세세도는 Fig. 1에 나타내었다. 본 연구는 진조기체의 투과실험 및 분리성능에 대한 실험이므로, 수분함량을 조절하기 위한 bubbler(E) 부분은 사용하지 않았다. 즉, 맨날 K와 M은 같은 상태에서 운전하였다. 가스선린더로부터 공급되는 기체에 함유된 수분을 제거하기 위하여 실리케인(B)을 통과시킨 후 미보(F)에 주입하였다.

유입기체는 중공사막의 인쪽(tube side)으로 공급하였고, 투과부(shell side, permeate side)에서의 유체의 흐름은 유입부의 흐름과 반대 방향인 항류(counter-current)형태로 흐르게 하였으며, 투과되지 않은 유체는 배제부(reject side)를 통해 유출되도록 하였다. 유입부, 투과부, 배제부에서의 유량은 전광유량계(Telodyne Brown Eng Hastings instruments)는 기록계(Q)에 연결하여 각각의 유량을 측정하였다. 투과부와

Table 1 Specification of polysulfone hollow fiber membrane modules

ID of fiber	OD of fiber	Length of module	No. of fibers	Area
320 μm	500 μm	13.5 cm	94 ea	199.3 cm^2

배제부 사이의 압력차와 유량은 유입부의 배제부 쪽에 설치된 need valve(N, O)를 이용하여 조절하였다. 유입유리은 디시널암리제(G)를 사용하여 측정하였고, 투과부의 압력은 대기압으로 유지하였다. 기체혼합물의 막 모듈에 의한 분리성능을 측정하기 위하여 유입부, 투과부, 배제부의 농도는 기체프로미트그래프(Shimadzu, GC-14B)를 이용하여 분석하였다.

3 이론

3.1 분리인자 (separation factor, α)

3.1.1 이상분리인자 (ideal separation factor, α^*)

순수한 두 기체의 투과도의 비율로 정의되는 이상분리인자 (ideal separation factor α^*)는 고분자막에 대한 기체의 확산도비(mobility selectivity)와 용해도비(solubility selectivity)의 곱으로 결정되며, 식(1)과 같이 표현된다.

$$\alpha^* = \left[\frac{D_i}{D_j} \right] \left[\frac{S_i}{S_j} \right] = \frac{P_i}{P_j} \quad (1)$$

3.1.2 Stage cut (θ)

분리막 양성에서의 stage cut (θ)은 다음과 같이 정의된다.

$$\theta = \frac{q_p}{q_f} \quad (2)$$

이어서, q_p 와 q_f 는 각각 투과유량과 배제유량을 나타낸다.

3.2 수학적 모델링에 의한 전산모사

분리막에 의한 기체혼합물의 분리성능에 대한 예측을 가능하게 하는 수치해석적 모델이 여러 가지 세 가지 있다. 이러한 모델들은 유체의 흐름 형태에 따라 평행류(co current flow), 항류(counter current flow), 원산호류(perfect mixing), 일방호류(one side mixing) 등으로 구분된다. 본 연구에서는 실험으로 수행한 항류의 경우에 대한 이론적 모델을 이용하여 투과

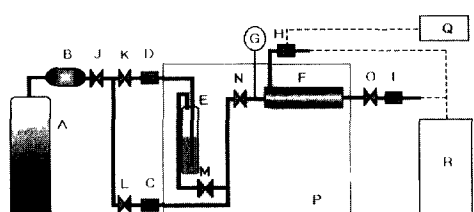


Fig. 1. Schematic diagram of permeation rate measuring apparatus (A) gas cylinder, (B) silica gel, (C, D, H, I) mass flow meter, (E) bubbler(water), (F) membrane module, (G) pressure gauge, (J, K, L, M, N)valve, (P) constant temp bath, (Q) Recorder, (R) GC

리설은 중공사막에 의한 기체 혼합물의 분리성능을 예측하는 진산모사(computer simulation)를 수행하고, 실험치와 비교하였다.

3.2.1 Pecklet 수 (Pecklet Number, Pe)

풀러식 흐름(plug flow) 조건을 만족시키기 위해서는 Pecklet 수 (Pecklet Number)가 1보다 훨씬 커야 한다.

$$Pe_t = \frac{uL}{D_1} \quad (3)$$

이때, 막표면에서의 침식 저항(viscous drag)에 의해 막모듈의 길이 방향에 따른 속도가 차이가 날 시라도 막모듈내에서의 기체의 흐름에 의한 막표면에 수직인 방향에서의 농도분포 현상이 나타나지 않는다 [4] 따라서, Pecklet 수가 1 보다 큼 경우에 풀러식 흐름 조건을 만족시킨다.

3.2.2 항류 플리그 흐름 모델 (Counter-current plug flow model)

누끼부와 박내부의 유체 흐름이 서로 반대방향(항류, counter-current)이고, 풀러식 흐름일 때의 모델에서, 막의 미분면적(differential area, dA)에 따른 물질 수지식은 다음과 같다(Fig. 2 참조)

$$-d q_1 = -d(qx) = \frac{dA}{\ell} Q_1 p_h (x - p_s, y) \quad (4)$$

$$-d q_2 = -d[q(1-x)] = \frac{dA}{\ell} Q_2 p_h [(1-x) - p_s, (1-y)] \quad (5)$$

$$d(qx) = d(hy) \quad (6)$$

$$dq = dh \quad (7)$$

식(4)와 (5)로부터 시배미분방정식(8)을 구할 수 있다

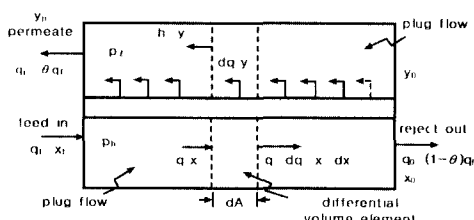


Fig. 2. Flow diagram for the countercurrent flow model

$$\frac{dq}{dx} = \frac{q}{x + \frac{\alpha^*}{(1-\alpha^*)+(p_s-1)/(x-p_s,y)}} \quad (8)$$

$$\text{여기서, } \alpha^* = \frac{Q_1}{Q_2}, \quad P_t = \frac{P_i}{P_h}$$

식(6), (7)을 적분하고, h는 소거한 후 무차원화하면, 식(9)을 얻는다

$$y = \frac{xq - x_o}{q - 1}, \quad x > x_o \quad (9)$$

마지막, 항류 풀러식 흐름 모델은 초기값 $x = x_o$ 인 비분수 방정식(8)을 풀면 된다

3.2.3 모델링에 의한 전산모사

누끼부와 박내부의 유체 흐름이 서로 반대방향(항류, counter current)이고, 풀러식 흐름일 때의 모델을 이용하여, 주어진 공정변수들의 변화에 따른 누끼부의 농도변화를 예측할 수 있다. 즉, 공급 기체 혼합물의 조성의 변화, stage cut의 변화, 공급기체 혼합물의 입자변화 등에 따른 누끼부의 농도변화를 계산할 수 있다. 항류-풀러식 흐름에 대한 모델식은 Table 2에 수록

Table 2. Governing equations for counter current model[5]

Counter-current Model

$$\frac{dq}{dx} = \frac{q}{x + \frac{\alpha^*}{(1-\alpha^*)+(p_s-1)/(x-p_s,y)}} \quad (10)$$

$$y_p = \frac{xq - x_o}{q - 1}, \quad x > x_o \quad (11)$$

initial conditions,

$$q = 1$$

$$y = y_o \quad \text{at} \quad x = x_o \quad (12)$$

$$\text{where, } \frac{y_o}{1-y_o} = \frac{\alpha^* (x_o - p_s, y_o)}{1-x_o - p_s, (1-y_o)} \quad (13)$$

$$\text{to find } q = \frac{1}{1-\theta} \quad \text{at} \quad x = x_i \quad (14)$$

$$y_p = \frac{x_i - (1-\theta)x_o}{\theta} \quad (15)$$

하였다. 식(8) 또는 식(10)의 해는 초기조건 $x = x_0$, 예시의 초기값으로부터 시행착오법으로 얻을 수 있다. $x = x_0$ (outlet point)일 때 $q = 1$ 이고 $y = y_0$ 인 초기값으로부터 5th order Runge-Kutta 석분방법[8]을 이용하여 유입기체의 농도인 $x = x_0$ (initial point)일 때까지 반복 계산하여 q 를 구하고, 그때의 $q = 1/(1-\theta)$ 와 투과부의 농도 y_p 즉, y_p 를 구한다. 주어진 초기조건중에 모듈 끝부분에서의 투과부의 농도 y_p 는 실험적으로 측정 불가능하므로 식(13)(Weller Steiner Case I)을 이용하여, x_0 에 대응하는 투과부의 농도 y_p 를 계산한다[5].

4 결과 및 고찰

4.1 순수한 기체(N_2 , O_2)의 투과도

4.1.1 압력 의존성

순수한 산소와 질소의 투과율은 일정한 온도($30^\circ C$)에서, 압력이 증가함에 따라 약간씩 증가하는 경향을 보였나(Table 3). 이와같이 압력의 증가에 따른 순수기체의 투과율이 약간씩 증가하는 것은 상용으로 판매되고 있는 폴리아미드 중공사막(polyimide hollow fiber membrane)에서도 볼 수 있다[6, 7]. 이러한 압력의 증가에 따른 순수기체의 투과율이 약간씩 증가하는 것은 본 실험에 사용한 폴리실론 중공사막에 미세공(pinhole)과 같은 결함(defects)이 존재하는 것으로 판단된다.

4.1.2 이상분리인자 (α^*)

순수한 산소와 질소간의 이상분리인자는 2수실험을 수행한 온도, 압력 범위 내에서 약 5.7의 값을 나타내었다(Table 3). 일반적으로 폴리실론 마의 산소와 질소간의 이상분리인자는 5~6 정도를 나타내고 있으며, 이것과 매우 유사한 값을 가짐을 알 수 있다.

Table 3. Permeation rate and ideal separation factor (α) (permeation rate [$\times 10^4$ cc(SIP) $cm^2 \cdot sec \cdot cmHg$])

ΔP [kg/cm^2]	Permeation rate of O_2	Permeation rate of N_2	Ideal separation factor (α)
3	4.4481	0.7720	5.76
6	4.6136	0.8271	5.78
9	4.7055	0.8504	5.53

4.2 산소/수소 혼합물에 대한 분리성능

순수한 O_2 , N_2 의 투과도를 이용하여 공정변수인 stage cut (θ)의 변화, 압력차이의 변화, 공급기체 조성의 변화에 따른 기체혼합물(O_2/N_2)의 분리성능에 미치는 영향을 실험으로 추정하고, 모델링에 의한 투과부와 배제부의 농도 및 유량에 대한 계산치와 비교하였다. 또한, 비재료의 특성이 이상분리인자의 변화가 분리성능에 미치는 영향을 분석하였다.

4.2.1 Stage cut (θ)의 영향

공정변수인 stage cut (θ)의 변화에 따라 투과부의 농도와 배제부의 농도가 변화한다. 공급부(feed stream)의 산소농도 21 mole%, 압력차이 (ΔP) 6 kg/cm^2 , 온도 $30^\circ C$ 에서 공정변수인 stage cut (θ)을 0.10, 0.19, 0.34, 0.43로 변화시켰을 때, 투과부의 산소농도는 각각 49.7 mole%, 46.6 mole%, 41.0 mole%, 37.4 mole%로 변화하였으며, 배제부의 산소농도는 각각 19.7 mole%, 16.6 mole%, 12.7 mole%, 10.9 mole%로 변화하였다(Fig. 3, Table 4). 따라서, stage cut (θ)을 사용해 투과부의 산소농도를 높일 수 있으며, 산소농도 21 mole%인 공기로 약 50 mole%까지 농축할 수 있음을 알 수 있다. 동일한 온도($30^\circ C$)에서 압력차이 (ΔP)를 9 kg/cm^2 로 유지하고, stage cut (θ)을 0.10, 0.19, 0.27, 0.37, 0.40으로 변화시켰을 때, 투과부의 산소농도는 각각 52.0 mole%, 49.0 mole%, 46.1 mole%, 41.5 mole%, 37.9 mole%로 변화하였으며, 배제부의 산소농도는 각각 18.0 mole%, 15.0 mole%, 12.0 mole%, 8.4 mole%, 7.4 mole%로 변화

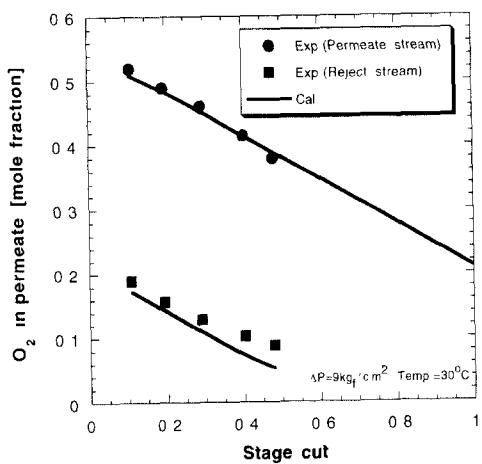


Fig. 3. The effect of stage cut on the concentration of O_2 in permeate and reject stream

하였다(Fig. 4, Table 5) 따라서, 압력차이 (ΔP)가 증가시켰을 때 두파부의 산소농도는 52 mole%로 조금 더 높축시킬 수 있음을 알 수 있다.

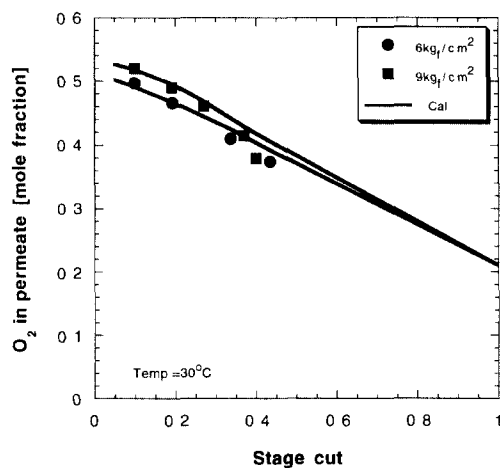


Fig. 4. The effect of stage cut on the concentration of O_2 in permeate stream

Table 4 The effects of stage cut on O_2 concentration in permeate and reject stream ($\Delta p=6 \text{ kgf/cm}^2$, Temp -30°C)

Stage cut (θ)	Feed stream		Permeate stream		Reject stream	
	x_O	Flow rate [SCCM]	x_O Exp (Cal)	Flow rate [SCCM]	x_O Exp (Cal)	Flow rate [SCCM]
0.10	0.21	7923	0.497 (0.491)	0.78	0.197 (0.179)	7143
0.19	0.21	3807	0.466 (0.467)	0.73	0.166 (0.149)	3077
0.34	0.21	2051	0.410 (0.425)	0.69	0.127 (0.101)	1361
0.43	0.21	1472	0.374 (0.392)	0.64	0.109 (0.070)	0832

Table 5 The effects of stage cut on O_2 concentration in permeate and reject stream ($\Delta p=9 \text{ kgf/cm}^2$, Temp -30°C)

Stage cut (θ)	Feed stream		Permeate stream		Reject stream	
	x_O	Flow rate [SCCM]	x_O Exp (Cal)	Flow rate [SCCM]	x_O Exp (Cal)	Flow rate [SCCM]
0.10	0.21	1200	0.520 (0.518)	120	0.180 (0.180)	1080
0.19	0.21	626	0.490 (0.496)	119	0.150 (0.150)	507
0.27	0.21	411	0.461 (0.468)	111	0.120 (0.120)	300
0.37	0.21	276	0.415 (0.429)	102	0.084 (0.084)	174
0.40	0.21	232	0.379 (0.418)	93	0.074 (0.074)	139

4.2.2 공급기체 혼합물 농도의 영향

압력차이 (ΔP) 6 kgf/cm^2 , 온도 30°C, stage cut (θ) 0.34에서 산소농도가 21.0 mole%, 40.3 mole%, 58.6 mole%, 78.4 mole%인 산소/질소 혼합물을 공급하였을 때, 두파부의 산소농도는 각각 41.0 mole%, 67.3 mole%, 82.0 mole%, 91.3 mole% 이었으며(Fig. 5, Table 6), 배제부의 산소농도는 각각 12.7 mole%, 28.4 mole%, 45.5 mole%, 69.6 mole% 이었다(Table 6).

4.3 모델링에 의한 전산모사

4.3.1 Pecklet 수 (Pecklet Number)

본 모델링에서는 풀러그 흐름을 가정하고 있으므로 실험치와의 비교하여 실험이 Pecklet 수가 1보다 훨씬 큼 경우에만 너당하다 따라시, 실험이 Pecklet 수가 1보다 훨씬 큼 경우에 수행되었는지를 짐작하여야 한다. Table 7에서 알 수 있듯이 본 실험의 보는 경우에서 Pecklet 수가 1보다 훨씬 크므로 풀러그 흐름이라는 가정을 만족시킬 수 있다[4].

Table 6. The concentration of O₂ in permeate and reject stream with variation of feed gas composition ($\Delta p = 6 \text{ kg}_f/\text{cm}^2$, $\theta=0.34$, Temp = 30°C)

Feed stream		Permeate stream		Reject stream	
x_O	Flow rate [SCCM]	x_O , Exp (Cal)	Flow rate [SCCM]	x_O	Flow rate [SCCM]
0.210	2 051	0.410 (0.425)	0.690	0.127	1 361
0.403	3 040	0.673 (0.684)	1.040	0.284	2 000
0.586	4 440	0.820 (0.838)	1.450	0.455	2 990
0.784	5 700	0.913 (0.934)	1.950	0.696	3 750

(Remark) Exp = experimental data, Cal = calculated by modelling (theory)

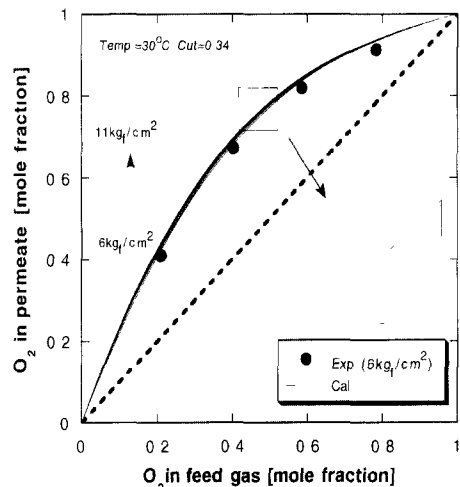


Fig 5 The effect of pressure on the concentration of O₂ in permeate stream

Table 7 Pecllet number for the experiments at 30°C (A O₂, B N₂)

Pressure [kg_f/cm^2]	D_{AB} [cm^2/sec]	Stage cut	Reject flow rate [SCCM]	Pecllet No
6	0.0302	0.0984	7 143	704
		0.4348	0.832	82
9	0.0211	0.1000	10 800	1,523
		0.4000	1.390	196

4.3.2 Stage cut (θ)의 영향

공급기체 혼합물의 산소농도를 21 mole%로 일정하게 유지하고, 공정변수인 stage cut (θ)을 변화시킬 때, 투과부와 배제부의 산소농도의 실험치와 진산모사에 의한 계산치는 Table 4, 5에 나타내었니 실험치와 계산치간의 오차범위가 4% 이내임을 알 수 있다

또한, stage cut (θ)은 0.34% 일정하게 유지하고 공급기체 혼합물의 조성을 변화시켰을 때의 투과부의 배제부의 산소농도의 실험치와 계산치는 Table 6에 나타내었니 실험치와 모델링에 의한 계산치가 잘 일치하고 있음을 보여주며, 실험치와 계산치간의 오차범위가 1~4% 이내였다

4.3.3 압력비의 영향

진술한 바와 같이 공정변수인 stage cut (θ)의 변화, 공급기체 혼합물의 조성변화, 압력자의 변화에 따른 선산모사 결과가 실험치는 잘 예측하여 주고 있음을 확인하였으므로(Figs. 3, 4, 5), 이를 기본으로 하여 공급부의 압력 대 투과부의 압력비(p_h/p)는 6에서 11까지 증가시켰을 경우의 선산모사 결과는 Table 8 와 Fig. 5에 나타내었니 압력비를 6에서 11까지 증가시켰으나, 투과부의 농도는 약 20%의 농도증가 효과밖에 없었다 따라서, 공정변수 중의 하나인 압력비의 증가에 의해 투과부의 농도를 증가시키고자 하는 것은 효과적이지 못함을 알 수 있다

4.3.4 이상분리인자 (α^*)의 영향

진술한 바와 같이 공정변수인 stage cut (θ)의 변화, 공급기체 혼합물의 조성변화, 압력자의 변화에 따른 선산모사 결과가 실험치는 잘 예측하여 주고 있음

Table 8. The calculated O₂ concentration in permeate by theory at various pressure ratios ($p_i = p_o / p_h$, $\theta=0.34$, Temp - 30°C)

Feed conc [x _O]	Press ratio					
	P _i -1/6	P _i -1/7	P _i -1/8	P _i -1/9	P _i -1/10	P _i -1/11
0.210	0.425	0.431	0.436	0.439	0.442	0.445
0.403	0.684	0.689	0.693	0.697	0.699	0.701
0.586	0.838	0.841	0.843	0.845	0.846	0.847
0.784	0.934	0.936	0.937	0.937	0.938	0.938

Table 9. The calculated concentration of O₂ in permeate by theory at various ideal separation factors (α^*) ($\theta=0.34$, Temp 30°C, ΔP 6 kg/cm²)

Feed conc [x _O]	α^*					
	$\alpha^*=5.58$	$\alpha^*=6$	$\alpha^*=7$	$\alpha^*=8$	$\alpha^*=9$	$\alpha^*=10$
0.210	0.425	0.433	0.451	0.464	-	-
0.403	0.684	0.694	0.715	0.732	0.747	0.761
0.586	0.838	0.845	0.861	0.874	0.884	0.893
0.784	0.934	0.938	0.946	0.952	0.956	0.960

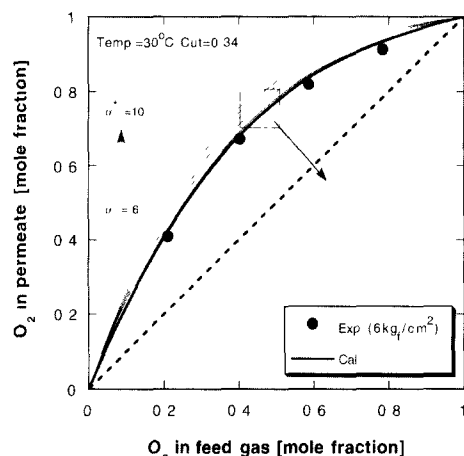


Fig. 6. The effect of ideal separation factor on the concentration of O₂ in permeate stream

우리나라에서는 이전까지는 하이 막시체의 분리 특성인 이상분리인자 (α^*)의 변화에 대한 신간보사실 결과를 Fig. 6과 Table 9에 나타내었는데 이상분리인자 (α^*)의 증가에 따라 투과부의 농도가 성장하는 증가하는 경향을 보았다.

그러나, 막 자체의 특성인 이상분리인자는 증가시키기 위한 분리막 재료의 개별이 매우 중요함을 알 수 있다 그러나, 분리막의 이상분리인자가 6에서 11까지 증가함에 따라 투과부의 농도증가율이 점점 낮아지는 것을 알 수 있다 따라서 분리막 재료의 개별에 의한 이상분리인자의 증가만으로는 투과부의 농도증가에 한계가 있으므로 공정변수(온도, 압력비, stage cut 등)의 최적화가 필요하다.

5 결 론

(1) 순수한 산소와 질소의 투과도는 압력이 증가함에 따라 약간 증가하는 경향을 보았다.

(2) 산소와 질소간의 이상분리인자는 투과실험을 수행한 온도, 압력 범위 내에서 약 5.7의 값은 나타났다.

(3) 폴리실론막의 혼합물(O₂/N₂)에 대한 분리성능은 투과부(feed stream)의 산소농도 21 mole%, 압력차이 (ΔP) 6 kg/cm², 온도 30°C, stage cut (θ) 0.10에서 투과부의 산소농도는 약 50 mole%였다. 농도한 조

전(온도 30°C)하에서 압력차이 (ΔP)가 9 kg/cm²인 때 투과부의 산소농도는 약 52.0 mole%이었다. 따라서, 압력차이 (ΔP)를 증가시켰을 때 투과부의 산소농도는 조금 더 증가 시킬 수 있음을 알 수 있다.

(4) 천산보사 결과와 실현지간의 오차범위가 4% 이내로서, 실현지와 계산지가 잘 일치하였다. 공급부의 입구 내 투과부의 압력비(p_h / p)는 6에서 11까지 증가시켰으나, 투과부의 농도는 약 20%의 농도증가 효과밖에 없었고, 따라서, 공정변수 중의 하나인 압력비의 증가에 의해 투과부의 농도를 증가시키고 사하는 것은 효과적이지 못할을 알 수 있다.

(5) 이상분리인자(α)증가에 따라 투과부의 농도가 상당히 증가하므로, 막 자체의 특성인 이상분리인자를 증가시키기 위한 분리막 세로의 개별이 매우 중요함을 알 수 있다. 그러나, 분리막의 이상분리인자가 6에서 11까지 증가함에 따라 누과부의 농도증가율이 점점 둔화되었다. 따라서, 분리막 세로의 개별에 의한 이상분리인자의 증가만으로는 투과부의 농도증가에 한계가 있으므로, 공정변수의 최적화가 필요하다.

감 사

본 논문은 에너지기술개발과제("연소제어용 산소부화장추시스템 개발")의 위탁과제('중공사막 모듈의 설계기술 개발')로 수행된 결과의 일부이며 이에 감사드립니다.

사 용 기 호

A	area
α	separation factor, ratio of permeabilities
Q_1, Q_2	permeability (STD) [cm ³ · cm/sec · cm ² · cmHg]
h	variable flow rate in permeate side
p_i	pressure ratio [p_i / p_h]
p	absolute outside pressure (low pressure)
ID	inside diameter
OD	outside diameter
D	diffusion coefficient
S	solubility coefficient

P	permeability
Pe	Pecklet number
U	Velocity
L	module length
ΔP	pressure difference
p_h	absolute inside pressure (high pressure)
q_i	feed flow rate [cm ³ /sec]
q_o	reject flow rate [cm ³ /sec]
q_p	permeate flow rate [cm ³ /sec]
q	variable flow rate on the high pressure side
ℓ	thickness of membrane
x	incremental high pressure concentration
x_0	conc of faster permeating gas rejected from diffusion cell
y	incremental low pressure concentration
y_o	conc of faster permeating gas at outlet
θ	cut or fraction permeated

참 고 문 헌

- W J Koros, G N Smith and V Stannett, *J Appl Polym Sci*, **26**, 159 (1981)
- D R Paul, *J Polym Sci. A2*, **7**, 1811 (1969)
- D R Paul and W J Koros, *J Polym Sci. Polym Phys Ed*, **14**, 675 (1976)
- S T Hwang and K Kammermeyer, *Membrane in Separations*, p370, Wiley, New York, NY (1975)
- C T Blaude and K Kammermeyer, *Chem Eng Sci*, **28**, 1249 (1973)
- K R Lee and S T Hwang, *J Membrane Sci*, **73**, 37 (1992)
- I J Chung, K R Lee, and S T Hwang, *J Membrane Sci*, **105**(3), 177 (1995)
- James B Riggs, *An Introduction to Numerical Methods for Chemical Engineers*, 2nd Ed., Texas Tech University Press (1994)